

III-A94

低拘束圧下でのロームの動的強度・変形特性

鉄道総合技術研究所 正会員 木村 英樹

日本鉄道建設公団 正会員 青木 一二三 米澤 豊司

鉄道総合技術研究所 正会員 蒋 閥魯 館山 勝

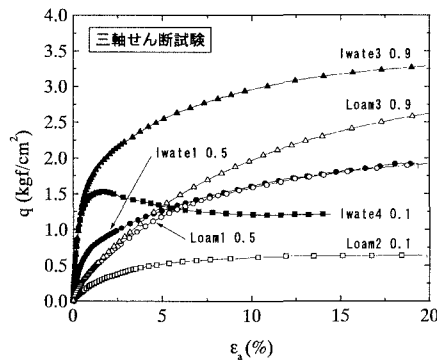
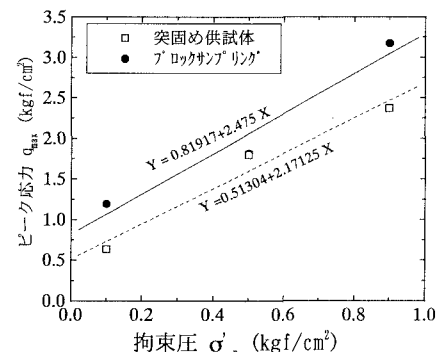
1. まえがき： ローム地盤において、現地土であるロームを切取りや盛土の構築材料として用いられることが想定される。そこでロームを用いた盛土の、特に大地震時（レベル2）に着目して、変形や安定解析を行うための土質諸数値を得ることを目的に、ブロックサンプリングと突き固め供試体を用いて三軸せん断試験、三軸線返し試験を系統的に実施した。

2. 試料・実験方法： 試験に用いた試料は、粘性質シルト～シルトが主体で比較的均質な茶褐色の岩手ローム（土粒子の密度 $\rho_s = 2.74 \text{ g/cm}^3$ ）である。小型三軸試験装置を用いて、軸変位を局所変形測定装置(LDTs)、側方向変位を左右各二個のギャップセンサーによって測定した。供試体は二種類で、ひとつはブロックサンプリングで、もうひとつは突き固めて作成した供試体である。供試体の形状は、直径70mm、高さ140mmである。含水比は自然含水比とした。供試体と試験条件を表1に示す。試験条件とデータ整理方法は、文献1)に詳しい。ただし、排水条件は排水促進のために供試体の側面に濾紙の柵を、端面に濾紙とポーラス・ストーンを用いた。

3. 実験結果及びその考察： 図1は、ブロックサンプリング供試体と突き固め供試体との偏差応力 q と軸ひずみ ε_a の関係である。Iwate4（ブロックサンプリング、 $\sigma'_r = 0.1$ ）を除くと、 $q \sim \varepsilon_a$ 曲線から明瞭なピーク応力点が見られないことから、ここではすべて、 $\varepsilon_a = 15\%$ での偏差応力 q を q_{\max} とすることにした。Iwate4のピーク強度の発現は、拘束圧が小さいので過圧密の影響が顕在化したためと考えられる。図2は、ピーク応力 q_{\max} と拘束圧 σ'_r の関係である。これらの図から、次のことが分かる。
①ブロックサンプリング供試体の強度は、突き固め供試体の強度より大きい。
②ピーク強度 q_{\max} と拘束圧 σ'_r の関係から得られた内部摩擦角と内部粘着力は、ブロックサンプリングの場合には $\phi_d = 33.57^\circ$ 、
 $c_d = 0.219 \text{ kgf/cm}^2$ であり、突き固めの場合には $\phi_d = 31.36^\circ$ 、
 $c_d = 0.144 \text{ kgf/cm}^2$ である。

表1 供試体と試験条件

供試体	含水比 w (%)	湿潤密度 $\rho_w (\text{g/cm}^3)$	応力経路	拘束圧 $\sigma'_r (\text{kgf/cm}^2)$	供試体仕様
Iwate1	102.51	1.355	三軸せん断	0.5	ブロックサンプリング
Iwate3	106.84	1.409	三軸せん断	0.9	ブロックサンプリング
Iwate4	130.23	1.286	三軸せん断	0.1	ブロックサンプリング
Iwate-c1	98.24	1.339	三軸線返し	0.5	ブロックサンプリング
Loam1	102.55	1.488	三軸せん断	0.5	突き固め
Loam2	105.41	1.478	三軸せん断	0.1	突き固め
Loam3	104.78	1.478	三軸せん断	0.9	突き固め
Lo-cycl1	104.15	1.488	三軸線返し	0.5	突き固め
Lo-cycl5	105.05	1.494	三軸線返し	0.9	突き固め

図1 偏差応力 q ・軸ひずみ ε_a の関係図2 ピーク応力 q_{\max} と拘束圧 σ'_r の関係

キーワード：ローム、三軸せん断試験、三軸線返し試験、せん断剛性率、減衰定数

〒185-8540 東京都国分寺市光町 2-8-38, Tel 042-573-7261, FAX 043-573-7248

〒100-0014 東京都千代田区永田町 2-14-2, Tel 03-3506-1860, FAX 03-3506-1891

図3は、軸ひずみが0.001%程度での等価せん断ヤング率 G_0 と拘束圧 σ'_t の関係を示す。この図から次のことが分かる。等方応力状態において等価せん断ヤング率 G_0 は、拘束圧の増加とともに大きくなり、その関係はブロックサンプリングと突固め供試体とともに $E_0 \propto \sigma'_t^{0.46}$ である。図4に、軸ひずみが0.001%程度での履歴減衰定数 h_0 と σ'_t の関係を示す。ブロックサンプリングと突固め供試体の h_0 は、両者ともに σ'_t に関係せず一定である。なお、突固め供試体の h_0 はブロックサンプリングに比べると大きい。この原因は、突き固め過程中、ロームの骨格構造が破壊されたためと考えられる。

図5、6は、それぞれの G/G_0 、 $h \sim \gamma$ の関係を示す。 G/G_0 は、両者ともにせん断ひずみ γ の増加に従って減少する。ただし、突固め供試体の方の低下率が大きい。

一方、減衰定数 h については、突固め供試体は、 γ に対してほぼ一定値であり、特異な傾向を示した。

4.あとがき： 岩手ロームのブロックサンプリング供試体と突固め供試体との動的変形・強度特性に関して、以下のことが判明した。

- 1) 等方応力状態において、等価せん断ヤング率 G_0 は、拘束圧の増加とともに大きくなり、その関係はブロックサンプリングと突固め供試体とともに $E_0 \propto \sigma'_t^{0.46}$ である。
- 2) ブロックサンプリングと突固め供試体の減衰定数 h_0 はともに拘束圧に関係せず、一定である。
- 3) G/G_0 は、ブロックサンプリング供試体と突固め供試体ともにせん断ひずみ γ の増加に従って減少する。
- 4) 減衰定数 h は、ブロックサンプリング供試体の場合、せん断ひずみ γ が大きくなるにつれ大きくなるのに対して、突固め供試体の場合にはほぼ一定値瞬、特異な傾向を示した。

今後はさらに検討を加え、動的解析に用いる盛土材の動的強度・変形特性を整備する予定である。

参考文献： 1)青木・松室・蔣・館山・龍岡・古関、低拘束圧下での砂質土の動的変形・強度特性の研究、1999、第34回地盤工学研究発表会

2)蔣・館山・青木・米澤・龍岡・古関、低拘束圧での礫の動的変形・強度特性の研究、1999、第34回地盤工学研究発表会

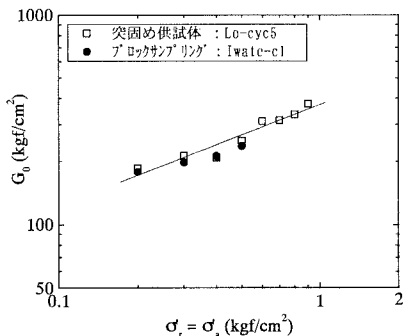


図3 等価せん断ヤング率 G_0 と拘束圧 σ'_t の関係

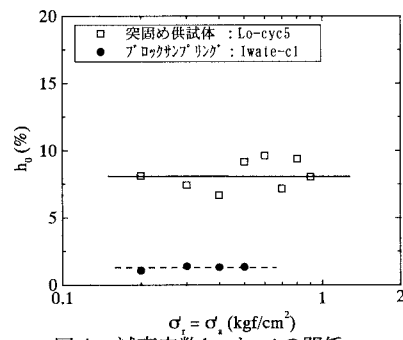


図4 減衰定数 h_0 と σ'_t の関係

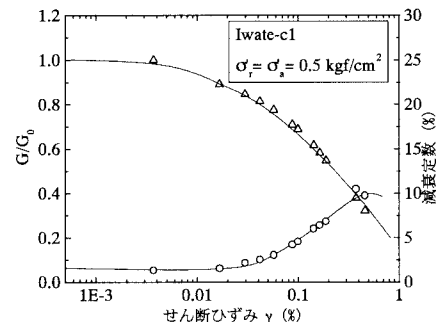


図5 ブロックサンプリングの G/G_0 、 $h \sim \gamma$ の関係

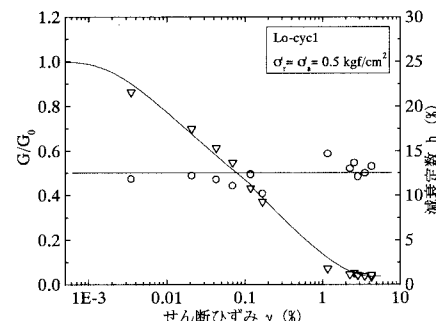


図6 突固め供試体の G/G_0 、 $h \sim \gamma$ の関係